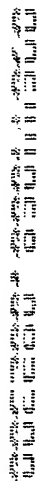
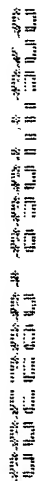
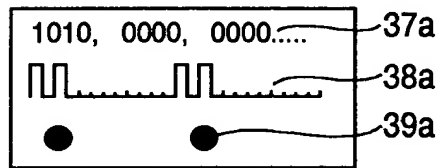


[illegible][illegible]

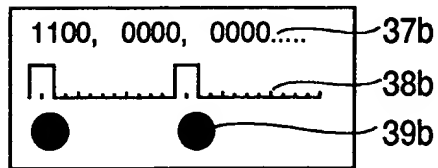
# FIG.3

INPUT VALUE (BINARY)	PWM PULSE PATTERN VALUE	INPUT VALUE (BINARY)	PWM PULSE PATTERN VALUE
0000	0000	1000	0000
0001	1010	1001	1000
0010	1100	1010	1100
0011	1101	1011	1110
0111	1110	1111	1111

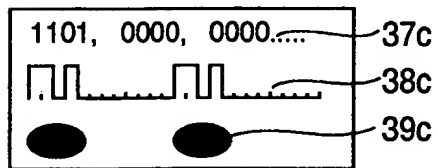
## FIG.4A



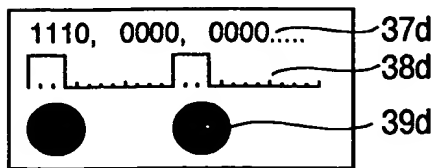
## FIG.4B



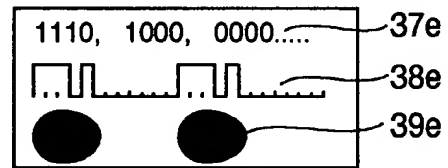
## FIG.4C



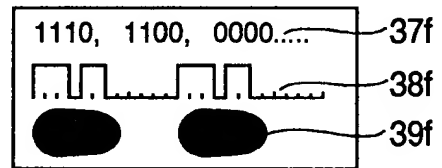
## FIG.4D



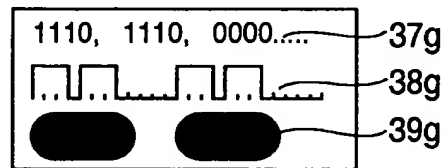
## FIG.4E



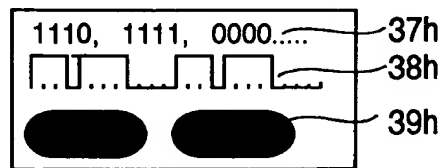
## FIG.4F



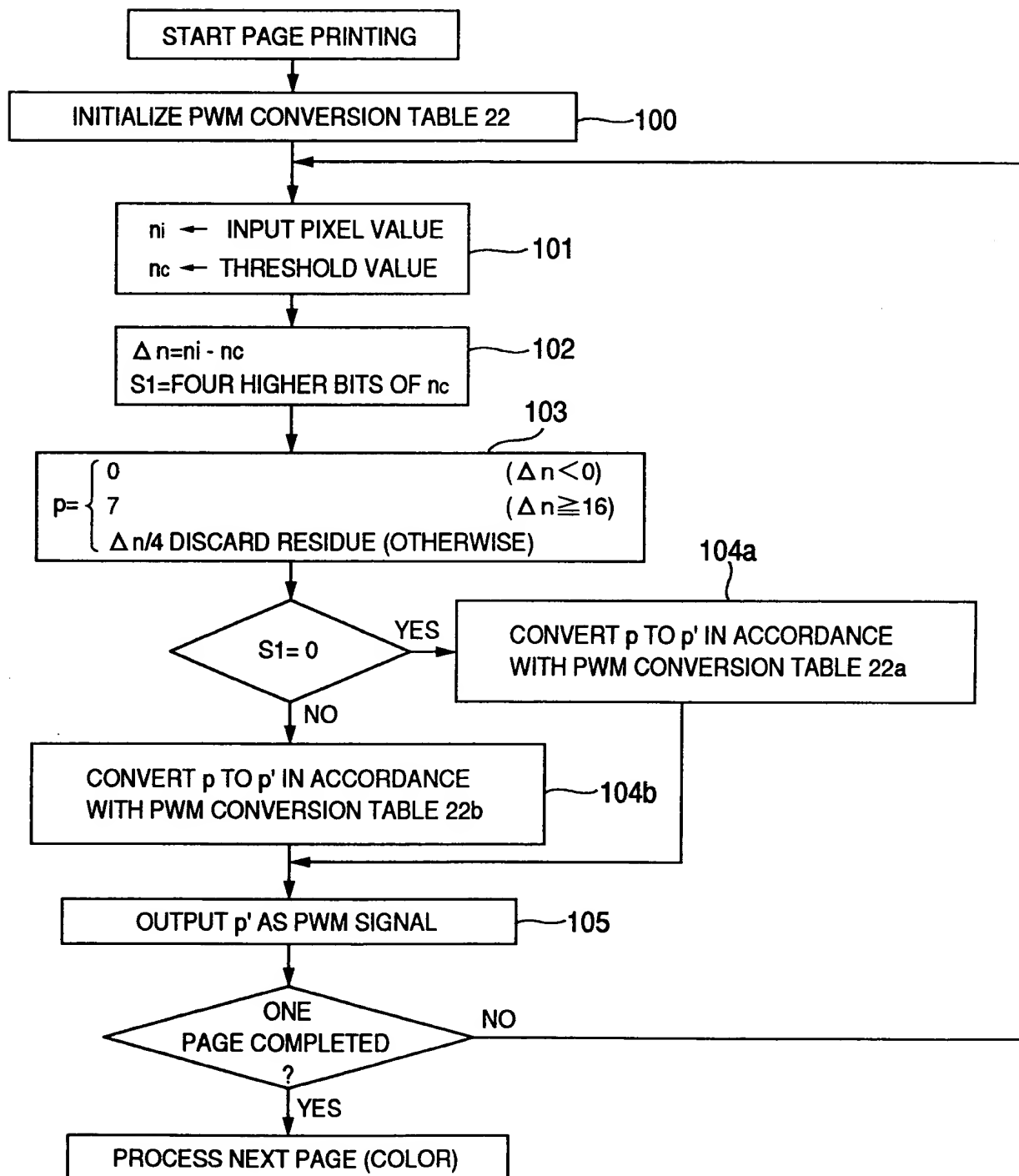
## FIG.4G



## FIG.4H

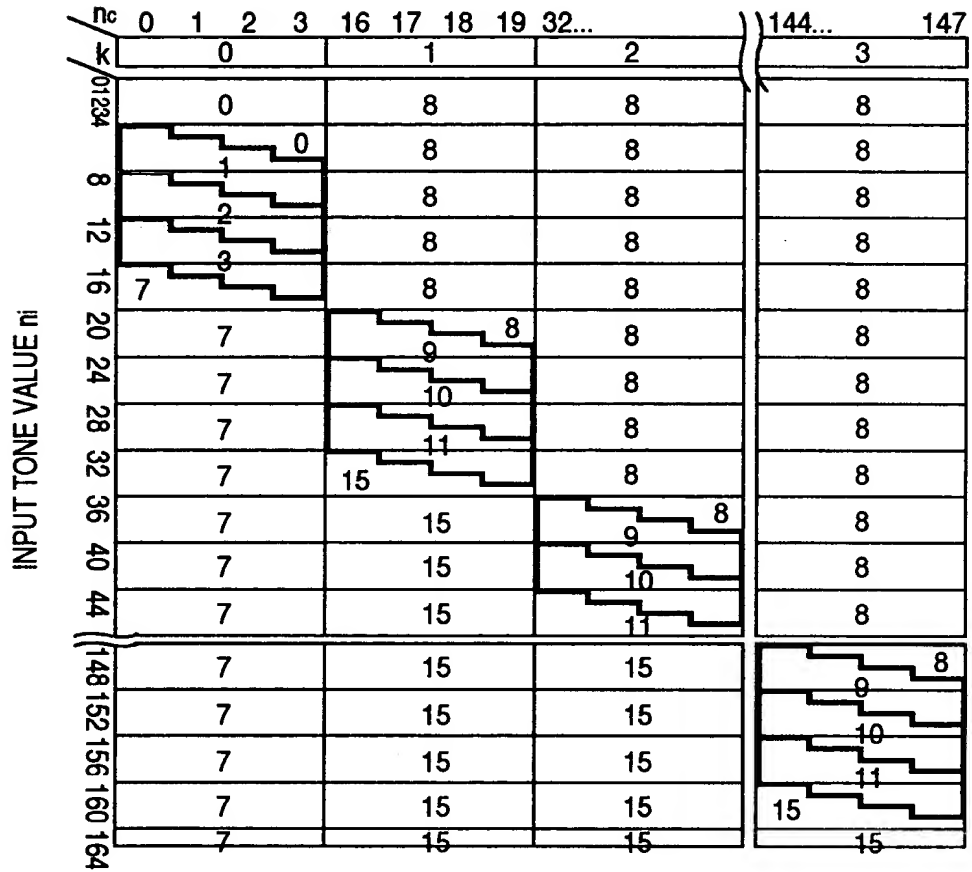


# FIG.5

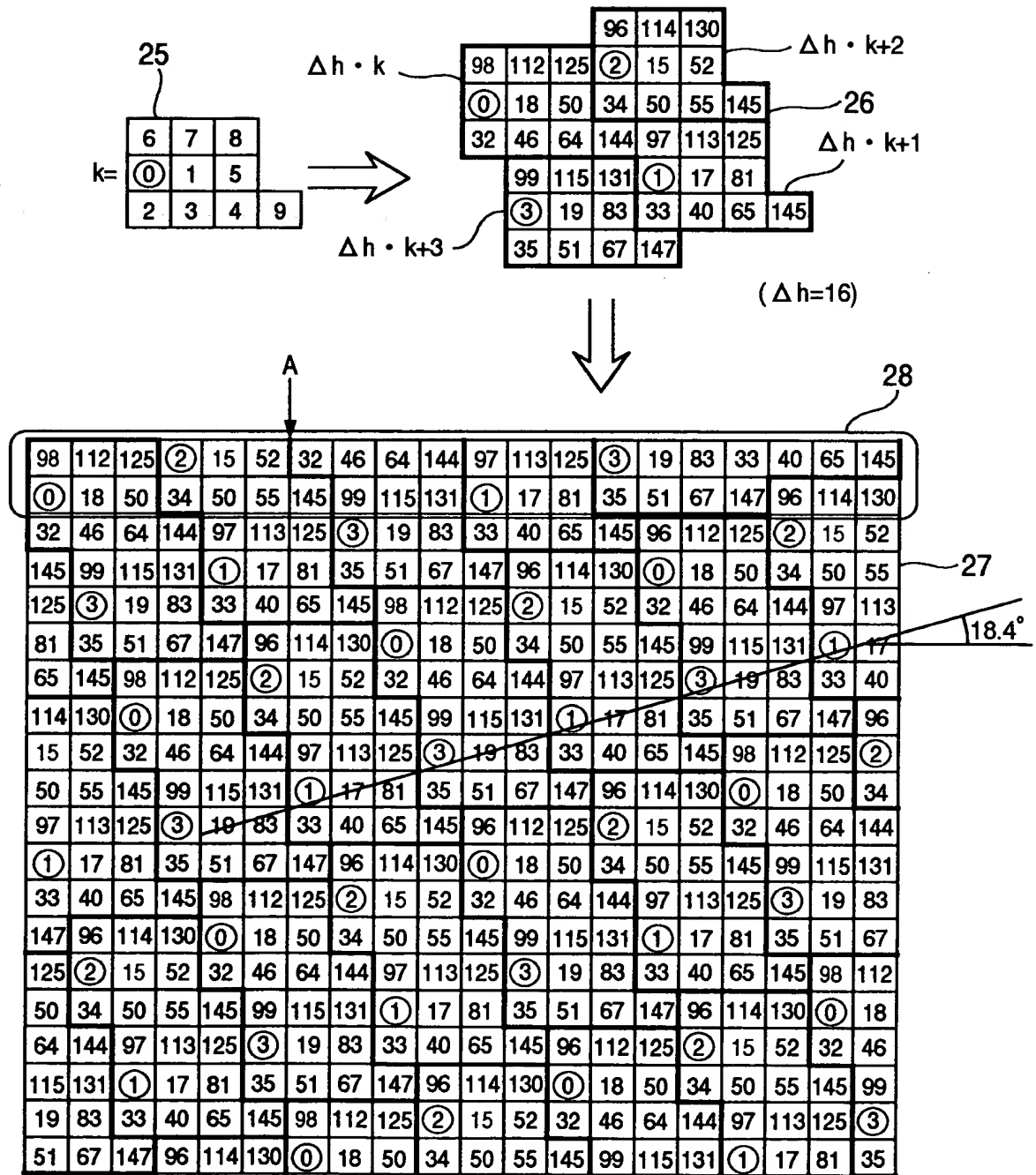


# FIG.6

THRESHOLD VALUE  $n_c$



# FIG.7



# FIG.8

BASIC THRESHOLD VALUE PATTERN		$\theta$	NUMBER OF CELLS	TOTAL NUMBER OF TONE LEVELS nmax
(a)	<div> <div>6</div><div>7</div><div>8</div><div>9</div> <div>0</div><div>1</div><div>5</div> <div>2</div><div>3</div><div>4</div> </div>	71.8°	10	161
(b)	<div> <div>6</div><div>7</div><div>8</div> <div>0</div><div>1</div><div>5</div> <div>2</div><div>3</div><div>4</div> </div>	0°	9	145
(c)	<div> <div>5</div><div>6</div> <div>7</div><div>0</div><div>1</div><div>4</div> <div>2</div><div>3</div> </div>	45°	8	129
(d)	<div> <div>0</div><div>1</div> <div>2</div><div>3</div><div>4</div> </div>	26.5°	5	81
(e)	<div> <div>6</div><div>7</div><div>8</div><div>9</div> <div>0</div><div>1</div><div>5</div><div>5</div> <div>2</div><div>3</div><div>4</div><div>13</div><div>14</div><div>15</div> <div>9</div><div>10</div><div>11</div><div>13</div><div>14</div><div>15</div> </div>	26.5°	20(15)	256

# FIG.9

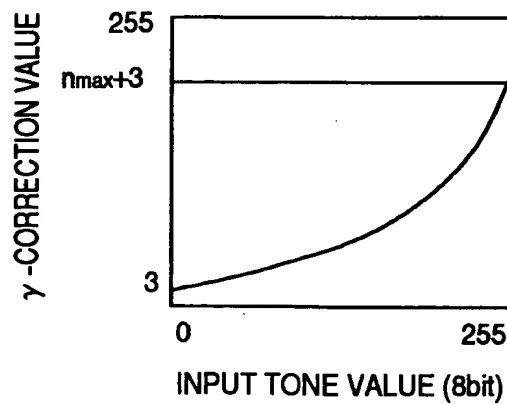


FIG.10

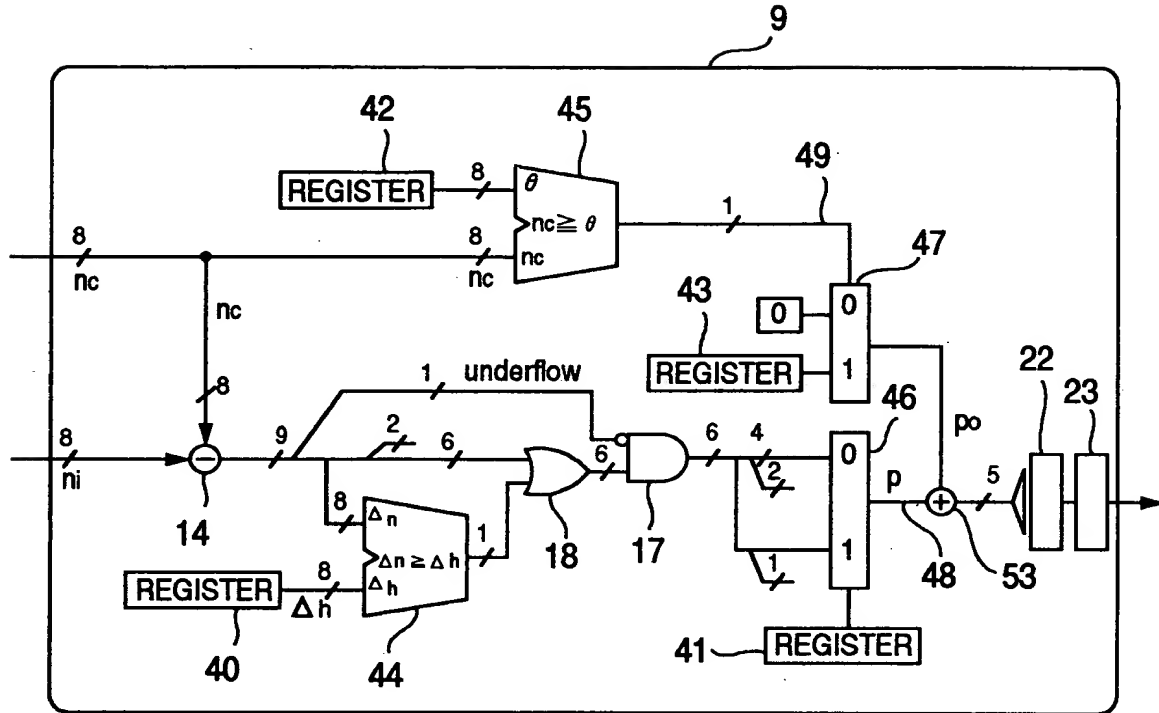


FIG.11

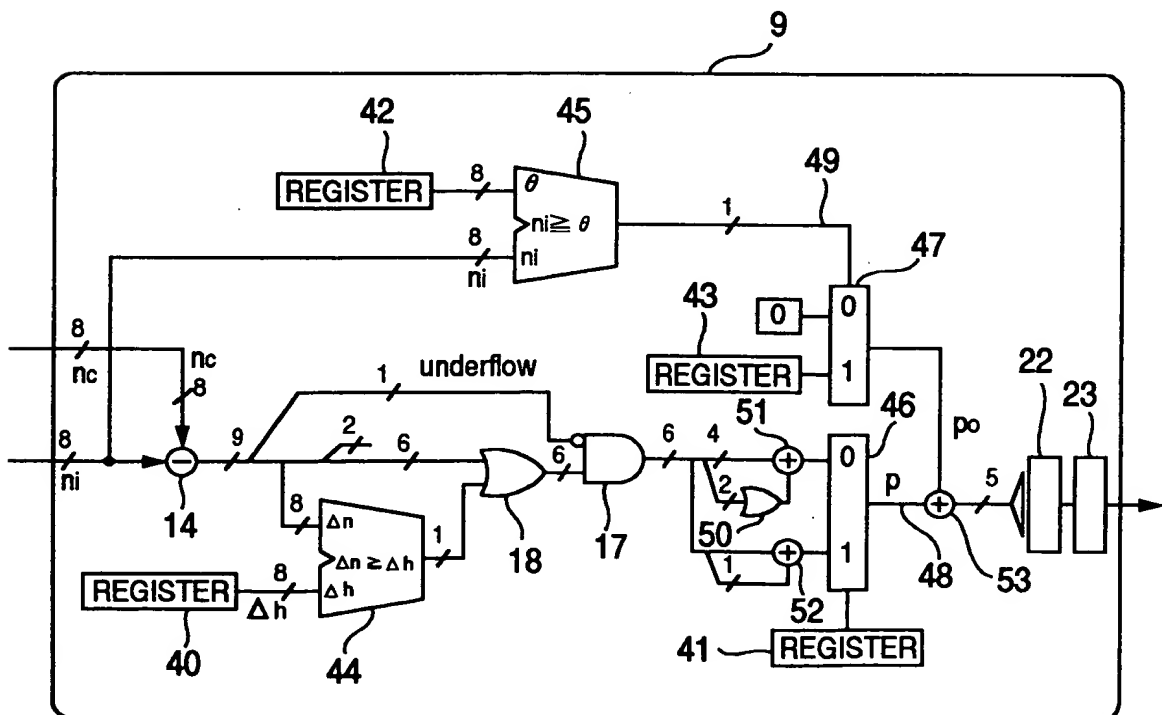


FIG.12

